

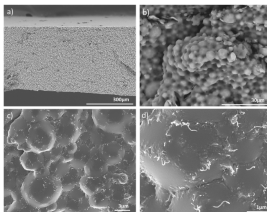
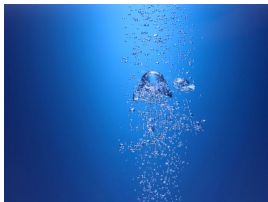
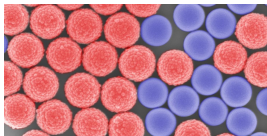
Prise en compte précise de géométries complexes pour  
l'approximation d'EDP sur grilles cartésiennes et leur  
simulation en calcul parallèle.

Lisl Weynans

Université de Bordeaux et INRIA

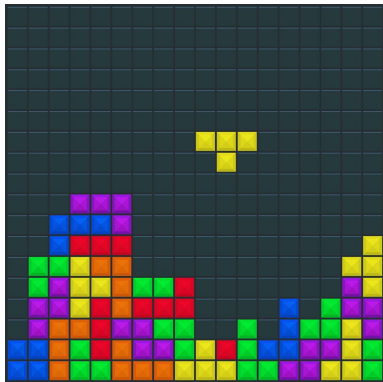
4 Décembre 2018

## Géométries complexes



- Différents matériaux en interaction
- Régis par des lois physiques différentes, représentées par des EDP
- Conditions aux limites, conditions de transmission sur les interfaces

## Discrétisation dans des géométries complexes

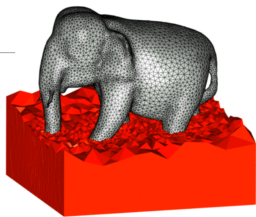


Comment gérer les maillages cartésiens ?

- ① Méthodes de frontières immergées
- ② La stratégie adoptée
- ③ Exemples d'applications



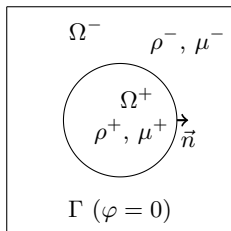
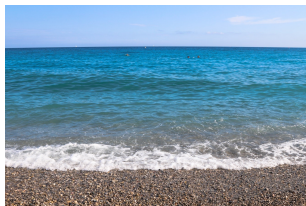
## Discrétisation dans des géométries complexes



Sources : site Mmg3d et Wami Delthorn, un amateur de legos sur Flickr

- **Maillage adapté à la géométrie :**
  - difficile à créer, à faire évoluer en cas de géométrie mobile,
  - raffinement naturel pour adapter localement la précision,
  - facile de discrétiser directement les équations dessus.
- **Maillage cartésien :**
  - pas de travail pour le créer et le manipuler,
  - perte de précision due au raffinement uniforme,
  - les schémas usuels ne conviennent plus, car dans une même maille peuvent exister deux états aux propriétés différentes.

## Exemple : Navier-Stokes incompressible



- Equations de Navier-Stokes incompressible dans chaque fluide :

$$\rho(\mathbf{u}_t + (\mathbf{u} \cdot \nabla)\mathbf{u}) = -\nabla p + (\nabla \cdot \boldsymbol{\tau})^T + \rho \mathbf{g},$$
$$\nabla \cdot \mathbf{u} = 0$$

- Conditions de saut au travers de l'interface

$$[p] = \sigma \kappa + 2[\mu](u_n, v_n) \cdot \mathbf{n}, \quad \left[ \frac{\nabla p}{\rho} \right] = \left[ \frac{(\nabla \cdot \boldsymbol{\tau})^T}{\rho} \right].$$

## Schéma numérique dans le fluide

- Prédiction (on prend  $p = 0$ )

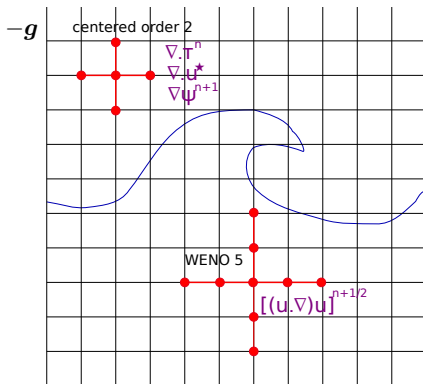
$$\frac{\mathbf{u}^* - \mathbf{u}^n}{\Delta t} = \underbrace{-[(\mathbf{u} \cdot \nabla)\mathbf{u}]^n}_{\text{WENO 5}} + \underbrace{\frac{(\nabla \cdot \boldsymbol{\tau}^n)^T}{\rho}}_{\text{centré ordre deux}}$$

- Résolution d'une équation elliptique :

$$\nabla \cdot \left( \frac{1}{\rho} \nabla p^{n+1} \right) = \underbrace{\frac{\nabla \cdot \mathbf{u}^*}{\Delta t}}_{\text{centré ordre deux}}$$

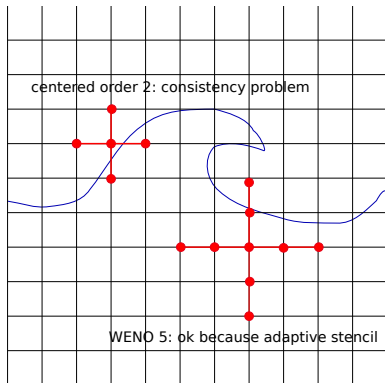
- Correction :

$$\mathbf{u}^{n+1} = \mathbf{u}^* - \underbrace{\frac{\Delta t}{\rho} \nabla p^{n+1}}_{\text{centré ordre deux}}$$



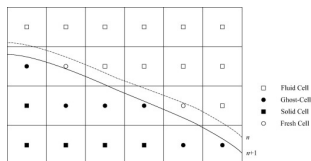
## Discrétisation près de l'interface

- Diffusion :  
dérivées de la vitesse discontinues
- Equation elliptique :  
discontinuité de  $\rho$ , conditions de saut au travers de l'interface
- Correction :  
discontinuité de  $\rho$  et  $p$   
  
⇒ Manque de consistance
- Convection :  
WENO 5 naturellement adaptatif  
vitesse continue  
  
⇒ moins gênant, dans une certaine mesure



## Problématiques sur grille cartésienne

- **Stabilité**
- **Précision** : maintien de l'ordre de convergence du schéma utilisé dans chaque sous-domaine
- **Interface mobile** : nouvelles valeurs sur une cellule passant d'un matériau à un autre, conservativité



Source : Liu et al 2017

⇒ Développement des méthodes de frontières immergées

## Méthodes de frontières immergées : stratégies

Régularisation (par ex Brackbill et al. 1992)

Eau :  $\rho = 1000 \text{ kg/m}^3$ ,  $\mu = 1,137 \cdot 10^{-3} \text{ kg/ms}$ ,

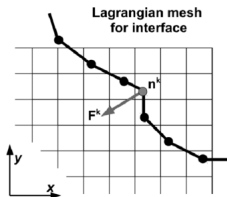
air :  $\rho = 1 \text{ kg/m}^3$ ,  $\mu = 1,78 \cdot 10^{-5} \text{ kg/ms}$ ,

$\sigma = 0.0728 \text{ kg/s}^2$ , rayon de la bulle  $1/300 \text{ m}$ ,  $Tf = 0.05 \text{ s}$ .

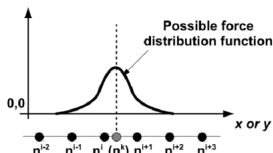
## Méthodes de frontières immergées : stratégies

Immersed Interface Method (Peskin 1972) :

- Fluide résolu sur une grille cartésienne
- Frontière solide représentée par des marqueurs lagrangiens



(a)



Eulerian mesh nodes (except of  $n^h$ )

(b)

Source : J. Konkol PhD thesis

## Méthodes de frontières immergées : stratégies

Pénalisation (Arquis et Caltagirone 1984, Angot et al 1999) :

Frontière solide prise en compte par un terme de forçage dans les équations fluides

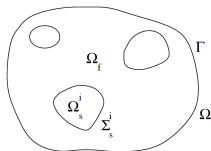


Fig. 1. Domain

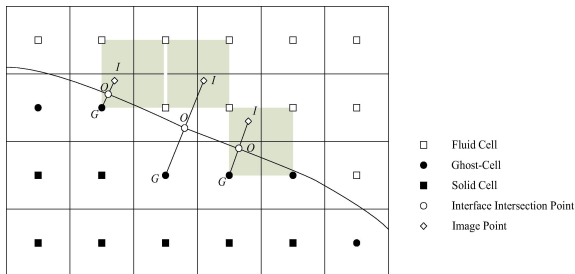
$$\begin{aligned} \partial_t u_\eta - \frac{1}{Re} \Delta u_\eta + u_\eta \cdot \nabla u_\eta + \frac{1}{\eta} \mathbf{1}_{\Omega_s} u_\eta + \nabla p_\eta &= f && \text{in } \mathbb{R}^+ \times \Omega \\ \operatorname{div} u_\eta &= 0 && \text{in } \mathbb{R}^+ \times \Omega \\ u_\eta(0, \cdot) &= u_0 && \text{in } \Omega \\ u_\eta &= 0 && \text{on } \Gamma. \end{aligned}$$

Source : Angot et al 1999



## Méthodes de frontières immergées : stratégies

Méthodes Ghost Fluid, Ghost cells : Création de valeurs fictives par une extrapolation tenant compte de la condition sur l'interface



Source : Liu et al 2017

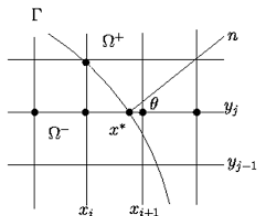
Inverse Lax Wendroff procédure : (Tan et Shu 2010)

Conversion de dérivées temporelles en dérivées spatiales pour construire des valeurs fictives à un ordre élevé

## Méthodes de frontières immergées : stratégies

Immersed Interface Method : (Leveque and Li 1994)

Différences finies avec stencil adapté



$$\frac{u(x+h) - u(x-h)}{2h} = \begin{cases} u'(x) + \frac{C(x,\alpha)}{2h} + O(h^2), & \text{if } 0 \leq \alpha \leq 1, \\ u'(x) - \frac{C(x,\alpha)}{2h} + O(h^2), & \text{if } -1 \leq \alpha < 0, \end{cases}$$

$$\frac{u(x+h) - 2u(x) + u(x-h))}{h^2} = u''(x) + \frac{C(x,\alpha)}{h^2} + O(h),$$

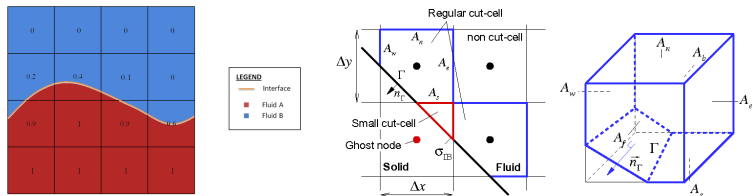
where

$$C(x,\alpha) = [u] + [u_x](1 - |\alpha|)h + [u_{xx}] \frac{(1 - |\alpha|)^2 h^2}{2}.$$

Source : Z. Li's slides

# Méthodes de frontières immergées : stratégies

## Approches conservatives : Volume of Fluid et Cut-Cell



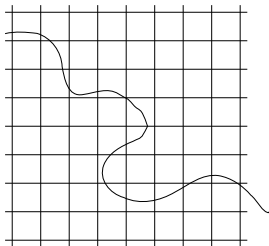
Gauche : discrétisation Volume of Fluid (J. Haider's Master Thesis),

Droite : discrétisation Cut Cell (Seo and Mittal 2011)

## Notre stratégie

Compromis précision/complexité algorithmique :

- Plutôt de type "Ghost-Fluid" ou "Immersed Interface"
- Utiliser une résolution sous-maile tenant compte de la position de l'interface
- Maintenir une précision d'ordre deux
- Mais sans chercher à être strictement conservatif



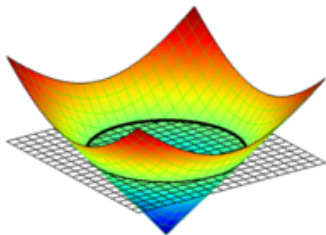
## Description de l'interface

- Représentation implicite :

Interface = iso-ligne zéro d'une fonction régulière  $\varphi$

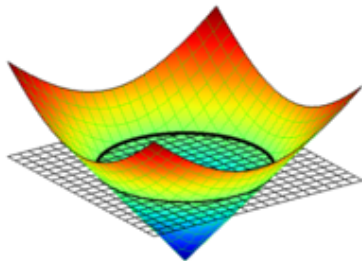
- Pratique avec une discrétisation sur grilles cartésiennes
- Traitement aisé de géométries complexes et changements de topologie (fragmentation, coalescence)
- Calcul des quantités géométriques :

$$\mathbf{n} = \nabla\varphi, \quad \kappa = \nabla \cdot \left( \frac{\nabla\varphi}{|\nabla\varphi|} \right),$$



## Description de l'interface

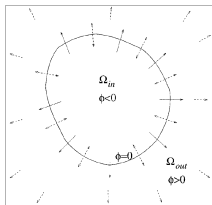
- En pratique, la fonction level-set  $\varphi$  est la distance signée à l'interface
- Elle est advectée à la vitesse de l'interface
- Besoin de calculer avec précision de l'évolution de la level-set,
- Et de préserver sa régularité



## Comportement de l'erreur numérique

Le comportement de l'erreur diffère suivant le type d'équation :

- Hyperbolique : l'erreur se propage le long des caractéristiques
  - une erreur d'approximation portée par une caractéristique qui sort du domaine aura peu d'influence
  - attention à récupérer les informations dans la bonne direction (upwind)



- Elliptique : comportement non-local
  - une erreur d'approximation plus forte mais commise sur suffisamment peu de points n'influe pas sur l'ordre de convergence
  - phénomènes de super-convergence

## Parallélisation

L'usage de grilles cartésienne uniformes permet une parallélisation aisée

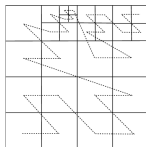
- Partitionnement immédiat
- Utilisation de bibliothèques efficaces comme PETSc

Contraintes algorithmiques :

- Éviter les grands stencils
- Fast Sweeping plutôt que Fast Marching afin que l'ordre de parcours des points ne dépende pas de l'interface

Si la grille n'est plus uniforme :

- Ajout d'inconnues supplémentaires sur l'interface :  
numérotation locale et globale
- Octree : la numérotation de Morton impose un calcul des flux très local (voisins directs)





## Applications étudiées

**Mécanique des fluides et transport**

**Problèmes elliptiques**

Suspensions de particules

Fonctions Level-set

Écoulements incompressibles bifluïdes

Écoulements de type Boussinesq

Electroporation de cellules biologiques

Écoulements compressibles

Matériaux électrostrictifs

## Applications étudiées

Mécanique des fluides et transport

Problèmes elliptiques

Suspensions de particules

Fonctions Level set

Écoulements incompressibles bifluides

Yannick Gorse,  
Angelo Iollo :  
méthode Ghost-cell,  
décentrement upwind

Coussinesq

Electroporation de  
cellules biologiques

Écoulements compressibles  
dans des géométries complexes  
Méthodes particulières avec remaillage  
Transport optimal

Adrien Magni :  
remaillage TVD non-linéaire  
preuve de convergence

Afaf Bouharguane, Angelo Iollo :  
méthode itérative

## Applications étudiées

Mécanique des  
fluides et transport

Problèmes elliptiques

Suspensions de particules

Fonctions Level-set

Ecoulements incompressibles bifluïdes

Ecoulements de type Boussinesq

Electroporation de  
cellules biologiques

Ecoulements compressibles

Matériaux électrostrictifs :  
modélisation et simulation

Marco Cisternino, Angelo Iollo,  
Annie Colin, Philippe Poulin  
Librairie Pablo  
Calcul parallèle sur octree

## Applications étudiées

**Mécanique des fluides et transport**

**Problèmes elliptiques**

Suspensions de particules :  
modélisation des forces de lubrification

Baptiste Lambert,  
Michel Bergmann :  
modèle local applicable à  
des particules  
non-sphériques

Fonctions Level-set

Écoulements incompressibles bifluïdes

Écoulements de type Boussinesq :  
imposition d'une condition génératrice

David Lannes :  
couche limite dispersive  
Inverse Lax Wendroff

Écoulements compressibles

**Matériaux électrostrictifs**

## Applications étudiées

Mécanique des  
fluides et transport

Problèmes elliptiques

Suspensions de particules

Interfaces  
immergées

Fonctions Level-set

Écoulements incompressibles bifluïdes

Écoulements de type Boussinesq

Electroporation de  
cellules biologiques

Écoulements compressibles

Matériaux électrostrictifs

## Problème elliptique avec interface immergée

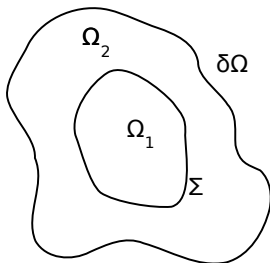
Collaboration avec Marco Cisternino

$$\nabla \cdot (k \nabla u) = f \text{ sur } \Omega = \Omega_1 \cup \Omega_2$$

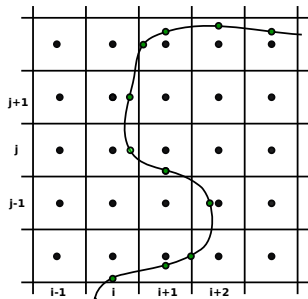
$$[[u]] = \alpha \text{ sur } \Sigma$$

$$[[k \frac{\partial u}{\partial n}]] = \beta \text{ sur } \Sigma$$

$$u = g \text{ sur } \delta\Omega$$



## Stratégie de discrétisation

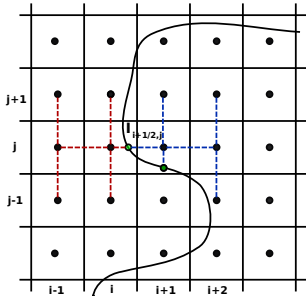
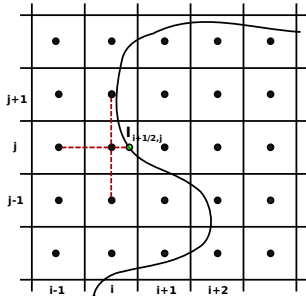


- Création d'inconnues supplémentaires sur l'interface
  - utilisées pour discrétiser l'opérateur elliptique de chaque côté de l'interface
  - obtenues par une discrétisation des conditions de saut au travers de l'interface
- Moins : inconnues supplémentaires...
- Plus : inconnues supplémentaires!

## Quelle précision près de l'interface ?

Pour obtenir la convergence à l'ordre deux (norme  $L^\infty$ ), il suffit d'avoir :

- une erreur de troncature à l'ordre un pour l'opérateur elliptique près de l'interface  
⇒ éviter les extrapolations linéaires
- une erreur de troncature à l'ordre deux pour la discrétisation des flux  
⇒ utilisation d'un stencil élargi





## Tests numériques 2D

Interface  $\Sigma$  :

$$\left(\frac{x}{18/27}\right)^2 + \left(\frac{y}{10/27}\right)^2 = 1.$$

Solution exact :

$$u(x, y) = \begin{cases} e^x \cos(y), & \text{à l'intérieur } \Sigma \\ 5e^{-x^2 - \frac{y^2}{2}}, & \text{en dehors.} \end{cases}$$

$k = 1$  en dehors de  $\Sigma$  et 10 ou 1000 à l'intérieur.

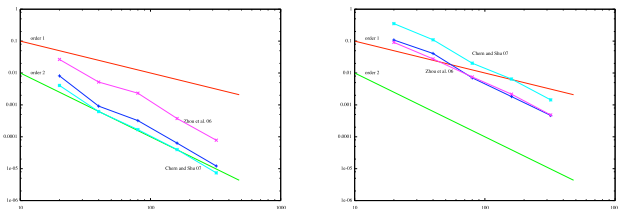
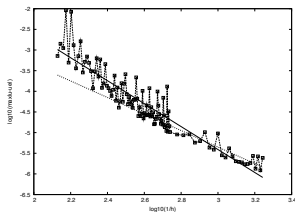
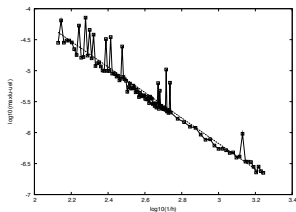
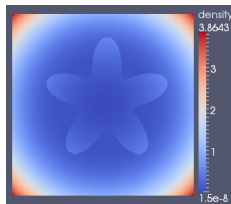


FIGURE: Gauche :  $k = 10$ , droite :  $k = 1000$ , convergence en norme  $L^\infty$

## Cas test parallèle 2D

$$k = \begin{cases} k^- & \text{à l'intérieur de } \Sigma \\ 1 & \text{en dehors} \end{cases}$$

$$u = \begin{cases} e^x \cos(y), & \text{à l'intérieur de } \Sigma \\ 5e^{-x^2 - \frac{y^2}{2}}, & \text{en dehors.} \end{cases}$$



**FIGURE:** Tests de convergence avec  $\omega = 5$ ,  $r_0 = 0.5$ ,  $k^- = 1000$  (gauche), et  $\omega = 12$ ,  $r_0 = 0.4$ ,  $k^- = 100$  (droite).

## Etude théorique de la convergence

- $A_h$  matrice du système linéaire,  $U_h$  solution,  $f_h$  terme source

$$A_h U_h = f_h$$

- Erreur locale  $e_h$  et erreur de troncature  $\tau_h$  liées par

$$A_h e_h = \tau_h$$

- Estimation naive :

$$\|e_h\|_\infty \leq \|A_h^{-1}\|_\infty \|\tau_h\|_\infty$$

- Pas assez précise ici car  $\|\tau_h\|_\infty = O(h)$

$\Rightarrow$  besoin d'estimations pour les coefficients de  $A_h^{-1}$ , sommés par blocs.

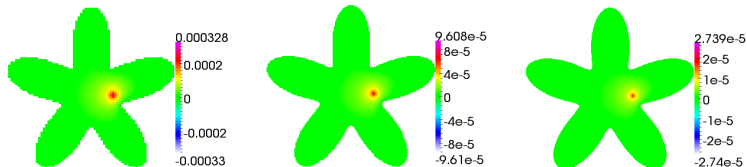
## Etude théorique de la convergence

- Pour chaque point  $Q$  de la discrétisation, on définit la fonction de Green discrète  $G_h(P, Q)$  par :

$$\begin{cases} A_h G_h(P, Q) = \begin{cases} 0, & P \neq Q \\ 1, & P = Q \end{cases} \\ G_h(P, Q) = 0, \text{ pour } P \text{ sur le bord.} \end{cases}$$

- Chaque  $G_h(:, Q)$  est une colonne de  $A_h^{-1}$

$$u_h(P) = \sum_Q G_h(P, Q) (A_h U_h)(Q) \quad \forall P$$



Exemples de fonction de Green discrète,  $100^2$ ,  $200^2$  et  $400^2$  points.

## Utilisation d'un principe du maximum discret

Théorème (Ciarlet, 71) :

$S$  est un sous-ensemble de  $\Omega_h$  et  $W$  une fonction discrète telle que :

$$\left\{ \begin{array}{l} W(P) \geq 0 \quad \forall P \in \Omega_h, \\ W(P) = 0 \quad \forall P \in \delta\Omega_h, \\ (A_h W)(P) \geq 0 \quad \forall P \in \Omega_h, \\ (A_h W)(P) \geq h^{-i} \text{ pour tout } P \in S. \end{array} \right.$$

Si  $A_h$  est monotone alors

$$\sum_{Q \in S} G_h(P, Q) \leq h^i W(P).$$

## Etude théorique de la convergence

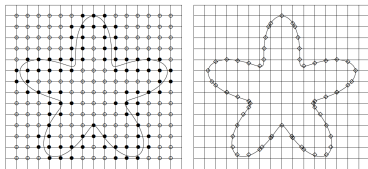
- Montrer que la matrice est monotone :

nécessite de montrer que si le minimum de  $U_h$  est atteint sur un point d'interface, alors le flux discret sur ce point est négatif

- Utiliser le principe du maximum discret et des fonctions ad hoc pour obtenir les estimations

$$\sum_{Q \in \Omega_h \cup \Sigma_h} G_h(P, Q) \leq O(1),$$

$$\sum_{Q \in \Omega_h^*} G_h(P, Q) \leq O(h).$$



$\Omega_h$  = points réguliers,  $\Omega_h^*$  = points irréguliers,  $\Sigma_h$  = points d'interface

## Etude théorique de la convergence

- Multiplier l'erreur de troncature par  $A_h^{-1}$ , bloc par bloc :

$$\begin{aligned} |e_h(P)| &\leq \sum_{Q \in \Omega_h^*} |G_h(P, Q)\tau_h(Q)| + \sum_{Q \in \Omega_h \cup \Sigma_h} |G_h(P, Q)\tau_h(Q)|, \\ &\leq O(h^2)O(1) + O(1)O(h^2) = O(h^2) \end{aligned}$$

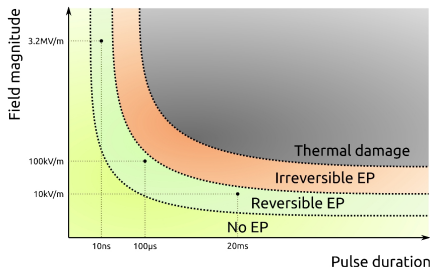
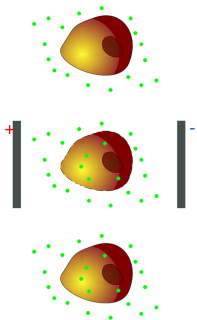
- Preuve ok pour 1D ordre deux, et en 2D à l'ordre un
- 2D ordre deux : la monotonie de la matrice dépend de l'angle entre la normale à l'interface et la normale à la cellule cartésienne
- Mais la matrice est bien monotone si la normale à l'interface est alignée avec l'axe de la grille  $\Rightarrow$  utile dans le cas bifluide !

# Electroporation de cellules biologiques

Collaboration avec Clair Poignard, Michael Leguebe et Otared Kavian

L'électrochimiothérapie (bléomycine + champ électrique) :

- thérapie locale de traitement du cancer,
- utilisée actuellement dans plusieurs centres anti-cancer européens.





## Modèle d'électroporation

- La membrane cellulaire est très fine et très résistive, elle est représentée par une interface sans épaisseur.
- Le potentiel électrique  $u$  satisfait une équation de Poisson dans le cytoplasme et le milieu extracellulaire, avec des conductivités différentes.
- Electroporation prise en compte via une modification de la conductivité de la membrane.

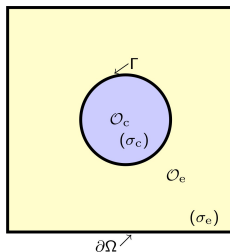
$$\nabla \cdot (\sigma_e \nabla u) = 0 \text{ sur } \mathcal{O}_e$$

$$\nabla \cdot (\sigma_c \nabla u) = 0 \text{ sur } \mathcal{O}_c$$

$$[\sigma \partial_{\mathbf{n}} u]_{\Gamma} = 0$$

$$C_m \partial_t [u]_{\Gamma} + S_m([u]) [u]_{\Gamma} = \sigma_c \partial_{\mathbf{n}} u|_{\Gamma^-}$$

$$u = g \text{ sur } \delta\Omega$$



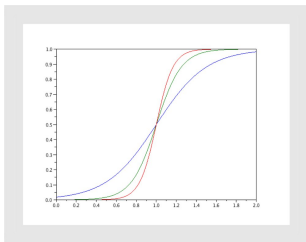
## Modèle d'électroporation

- Interpolation entre deux valeurs de la conductivité (état de repos et électroporation irréversible)

$$S_m(t, [u]) := S_L + (S_{ir} - S_L)X(t, [u]).$$

- $X$  obéit à un mécanisme de "sliding door" (semblable à la modélisation des canaux ioniques)

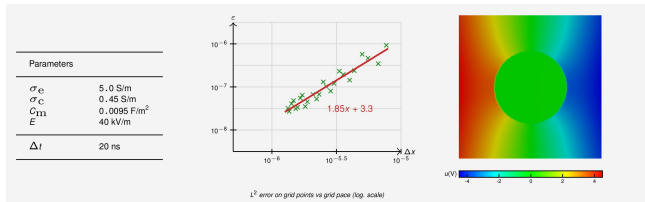
$$\begin{cases} \frac{\partial X(t, \lambda)}{\partial t} = \max \left( \frac{\beta(\lambda(t)) - X(t, \cdot)}{\tau_{ep}}; \frac{\beta(\lambda(t)) - X(t, \cdot)}{\tau_{res}} \right), \\ X(0, \lambda) = 0. \end{cases}$$



## Méthode numérique

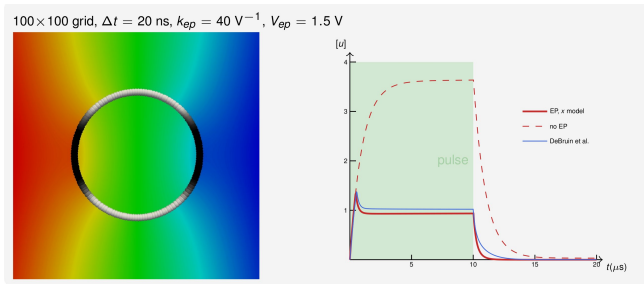
Adaptation de la méthode précédente :

- Convergence numérique à l'ordre deux en espace, ordre un en temps
- Convergence théorique à l'ordre 2 en espace pour le modèle 1D statique linéaire
- Convergence théorique à l'ordre 1 en temps pour le modèle 1D dynamique non-linéaire



Taux de convergence pour le problème sans électroporation

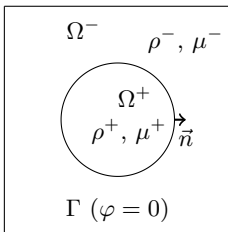
## Simulations 2D : validation du modèle



**FIGURE:** Paramètre  $X$  après électroporation et évolution temporelle du potentiel électrique sur le pôle arrière.

## Écoulements bifluïdes : le retour

Collaboration avec Michel Bergmann



- Equations de Navier-Stokes incompressible dans chaque fluide :

$$\rho(\mathbf{u}_t + (\mathbf{u} \cdot \nabla)\mathbf{u}) = -\nabla p + (\nabla \cdot \boldsymbol{\tau})^T + \rho \mathbf{g},$$
$$\nabla \cdot \mathbf{u} = 0$$

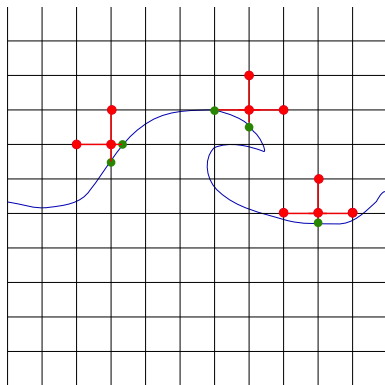
- Conditions de saut au travers de l'interface

$$[p] = \sigma \kappa + 2[\mu](u_n, v_n) \cdot \mathbf{n}, \quad \left[ \frac{\nabla p}{\rho} \right] = \left[ \frac{(\nabla \cdot \boldsymbol{\tau})^T}{\rho} \right].$$

## Nouvelle méthode : discrétisation près de l'interface

Pour résoudre la pression :

- Création d'inconnues sur l'interface pour  $u^*$  et  $p$
- Régularisation de  $\mu$  et  $\rho$  **seulement** pour la prise en compte des effets visqueux  
⇒ plus de discontinuité pour les termes visqueux



## Discrétisation près de l'interface

### Problème elliptique

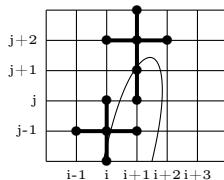
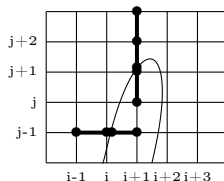
- Dans le fluide :

$$\nabla \cdot \left( \frac{1}{\rho} \nabla p \right) = \frac{\nabla \cdot \mathbf{u}^*}{\Delta t}.$$

- Sur l'interface :

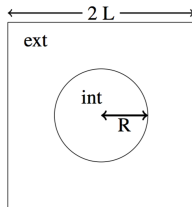
$$\begin{aligned} [p] &= \sigma \kappa, \\ \left[ \frac{\nabla p}{\rho} \right] &= 0, \\ \Rightarrow \left[ \frac{p_x}{\rho} \right] &= 0 \text{ ou } \left[ \frac{p_y}{\rho} \right] = 0. \end{aligned}$$

- \* Elimination des variables d'interface
- \* Matrice monotone donc méthode probablement plus stable



## Bulle au repos : oscillations parasites

- Oscillations parasites causées par l'erreur d'approximation des valeurs discrètes de la courbure
- Plus ou moins amplifiées par le schéma utilisé pour résoudre la pression



$$\left\{ \begin{array}{l} L = 2 \text{ cm}, \\ R = 1 \text{ cm}, \\ \rho_{int} = 1000 \text{ kg.m}^{-3}, \\ \mu_{int} = 10^{-3} \text{ Pa.s}, \\ \rho_{ext} = 1 \text{ kg.m}^{-3}, \\ \mu_{ext} = 10^{-5} \text{ Pa.s}, \\ \sigma = 0.1 \text{ N.m}^{-1} \end{array} \right.$$

N	Ghost Fluid	CSF	nouvelle méthode
16	$8.08 \times 10^{-3}$	$3.55 \times 10^{-2}$	$5.21 \times 10^{-3}$
32	$3.42 \times 10^{-4}$	$3.12 \times 10^{-2}$	$9.26 \times 10^{-5}$
64	$5.13 \times 10^{-5}$	$2.12 \times 10^{-2}$	$1.36 \times 10^{-5}$
128	$2.79 \times 10^{-5}$	$6.44 \times 10^{-3}$	$2.22 \times 10^{-6}$

TABLE: Erreur en norme  $L^\infty$  au temps  $t = 1$ .



## Petite bulle d'air dans de l'eau

**FIGURE:** Comparaison entre méthode CSF (gauche) et nouvelle méthode (droite)

## Une plus grande bulle d'air dans de l'eau

**FIGURE:** Eau :  $\rho = 1000 \text{ kg/m}^3$ ,  $\mu = 1,137 \cdot 10^{-3} \text{ kg/ms}$ , air :  $\rho = 1 \text{ kg/m}^3$ ,  
 $\mu = 1,78 \cdot 10^{-5} \text{ kg/ms}$ ,  $\sigma = 0.0728 \text{ kg/s}^2$ , rayon bulle 0.025 m

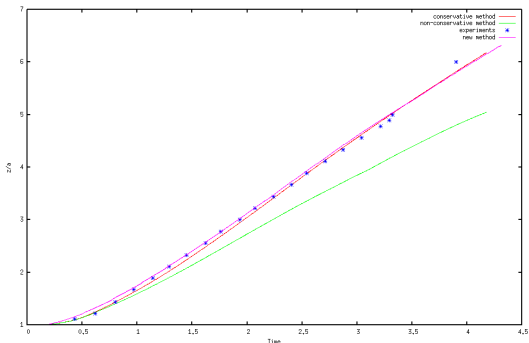
## Rupture de barrage

Eau :  $\rho = 1000 \text{ kg/m}^3$ ,  $\mu = 1,137 \cdot 10^{-3} \text{ kg/ms}$ ,

Air :  $\rho = 1,226 \text{ kg/m}^3$ ,  $\mu = 1,78 \cdot 10^{-5} \text{ kg/ms}$ ,

$\sigma = 0.0728 \text{ kg/s}^2$ , colonne d'eau  $h = 5.715 \text{ cm}$ , domaine  $40 \times 10 \text{ cm}$

## Rupture de barrage



Propagation du front : comparaison entre la méthode conservative de Raessi et Pitsch, une méthode de type Ghost-Fluid et la nouvelle méthode

## Motivations pour une level-set d'ordre élevé

Collaboration avec Francky Luddens et Michel Bergmann

- Meilleure description de l'interface
- Conservation de la masse
- Besoin de  $\kappa$  pour calculer les effets de tension de surface :

$$[p^{n+1}] = \sigma \kappa$$

Précision d'ordre 3 nécessaire pour calculer un  $\kappa$  consistant à partir des dérivées de la level-set !

## Approche classique

- Transport de  $\varphi$  avec  $\mathbf{u}$

$$\varphi^* = \varphi^n - \Delta t \mathbf{u}^n \nabla \varphi^n,$$

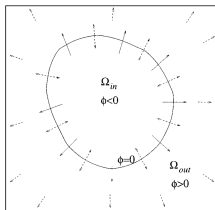
- Tous les quelques pas de temps, ré-initialisation de  $\varphi^*$  :

$$\partial_\tau \varphi + \text{sign}(\varphi^*) (|\nabla \varphi| - 1) = 0,$$

$$\varphi|_{\tau=0} = \varphi^*.$$

- Très souvent, RK3-TVD en temps, schéma WENO-5 pour  $\nabla \varphi$ .
- **MAIS** schéma WENO-5 pour la ré-initialisation pas assez précis près de l'interface  $\Rightarrow$  l'interface se déplace un peu à chaque itération de ré-initialisation

## Pour réduire le déplacement de l'interface



### Constatation :

Le schéma WENO utilise de l'information qui vient du mauvais côté de l'interface

### Subcell fix (Russo & Smereka, 2000) :

Modification du schéma pour utiliser l'information sur l'interface (décentrement)

### Extension d'ordre élevé (Du Chéné et al. 2008) :

- Loin de l'interface, schéma WENO,
- près de l'interface, schéma ENO décentré, tenant compte la position de l'interface

## Couplage avec du transport

Ecart par rapport à la fonction distance :

$$r_g(\nabla\varphi) := \|\ |\nabla\varphi| - 1 \|_{L^1(\Omega)}$$

Algorithme :

- **Initialisation** : avec  $\varphi_0 = d_0$ , la fonction distance signée à l'interface  $\Gamma_0$ ,
- **Transport** : Tant que  $r_g(\nabla\varphi) < \delta$ , calcul de  $\varphi$  avec l'équation de transport
- **Re-initialisation** : Quand  $r_g(\nabla\varphi) \geq \delta$ , on re-calcule  $\varphi$  comme la fonction distance signée  $d$ .
  - redistanciation avec relaxation dans une bande autour de l'interface
  - fast-sweeping d'ordre deux ailleurs



## Cas test d'un vortex

- Approche classique : quelques itérations de relaxation tous les quelques pas de temps  
⇒ le calcul de la courbure ne converge pas
- Nouvelle méthode,  $\delta = 0.1$  ou  $\delta = 0.01$   
⇒ le calcul de la courbure converge (ordre au moins un).

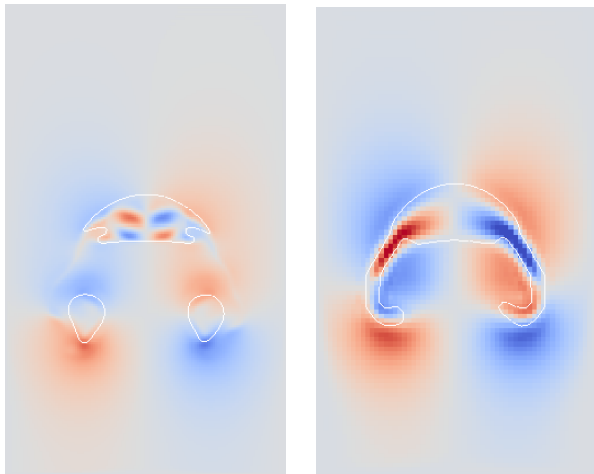
## Cas test d'un vortex

**FIGURE:** Gauche :  $\delta = 0$  (i.e. redistanciation à chaque pas de temps), droite :  $\delta = 0.1$ . grille  $80 \times 80$ ,  $dt = dx/8$

# Écoulements bifluïdes : le retour du retour

Élévation d'une grande bulle d'air dans de l'eau : nouvelle redistanciation

## Écoulements bifluïdes : le retour du retour



Élévation d'une grande bulle d'air dans de l'eau : comparaison avec et sans la nouvelle redistanciation

## Conclusion

- Conception, validation et analyse de schémas numériques sur grilles cartésiennes en présence de géométries complexes.
- Objectif : maintenir près des interfaces une précision suffisante (ordre deux) pour ne pas affecter la solution dans le reste du domaine.
- Stratégies différentes suivant le type d'équations
  - Hyperbolique : attention au sens de propagation de l'information
  - Elliptique : effet non-local, compensation

## Perspectives

- **Écoulements incompressibles bifluïdes** : extension en 3D, utiliser la forme conservative des équations de Navier-Stokes, développer une version incrémentale
- **Études de convergence avec les fonctions de Green discrètes**
- **Condition génératrice pour les équations de Boussinesq** : extension à des conditions sortantes et aux équations de Green-Naghdi

### Changement thématique : problèmes inverses en électrocardiographie

- Calculer le potentiel électrique sur le cœur à partir de mesures sur le torse.
- Problème qualitativement différent : mal posé et très instable
- Similarités entre les modèles pour le champ électrique sur le cœur et pour l'électroporation
- Thèse Oumayma Bouhamama, co-encadrement avec Laura Bear (équipe Traitement du Signal de l'IHU)